

# Conjugate Gradient Method for $l_p + l_2$ Norm Problems

Jiaming Zhan, Caiying Wu\*

School of Mathematical Sciences, Inner Mongolia University, Hohhot Inner Mongolia  
Email: 389806392@qq.com, \*wucaiyingyun@163.com

Received: Feb. 28<sup>th</sup>, 2019; accepted: Mar. 13<sup>th</sup>, 2019; published: Mar. 20<sup>th</sup>, 2019

---

## Abstract

A new model is proposed for sparse signal reconstruction. We smooth our model by smoothing absolute value function. Then we use a new tri-term conjugate gradient method to restore sparse signal. The effect of different parameters on sparse signal recovery is tested. The numerical results show that our algorithm is efficient.

## Keywords

Sparse Signal Recovery, Conjugate Gradient Method,  $l_p + l_2$  Norm, Global Convergence

---

# 求解基于 $l_p + l_2$ 范数问题的共轭梯度法

詹佳明, 乌彩英\*

内蒙古大学数学科学学院, 内蒙古 呼和浩特  
Email: 389806392@qq.com, \*wucaiyingyun@163.com

收稿日期: 2019年2月28日; 录用日期: 2019年3月13日; 发布日期: 2019年3月20日

---

## 摘要

本文针对稀疏信号的重构问题提出新的函数模型, 通过光滑化绝对值函数光滑我们的模型, 基于三项共轭梯度法对稀疏信号进行恢复, 并试验了不同参数值对稀疏信号恢复效果的影响, 数值实验表明本文算法的数值有效性。

---

\*通讯作者。

## 关键词

稀疏信号恢复, 三项共轭梯度法,  $l_p + l_2$  范数, 全局收敛性

Copyright © 2019 by author(s) and Hans Publishers Inc.

This work is licensed under the Creative Commons Attribution International License (CC BY).

<http://creativecommons.org/licenses/by/4.0/>



Open Access

## 1. 引言

压缩感知技术在信号重构问题中有着广泛的应用, 而稀疏性是压缩感知中的重要问题。2006 年, E. Candes, J. Romberg 和 T. Tao 在文献[1]中提出, 若矩阵  $A$  满足 RIP 条件, 则可以通过下述模型(1)精确恢复信号:

$$\min_{x \in R^n} \|x\|_0, \text{ s.t. } Ax = b. \quad (1)$$

其中  $A \in R^{m \times n}$  ( $m < n$ ) 为观测矩阵,  $b \in R^m$  为原始信号,  $\|x\|_0$  表示 0 范数, 即稀疏信号  $x$  中非零元素的个数。但该问题是 NP-hard 问题[2], 因此学者们考虑了如下的凸优化问题:

$$\min_{x \in R^n} \|x\|_1, \text{ s.t. } Ax = b. \quad (2)$$

(2)称作 1 范数模型, 在适当的假设下, 由文献[3]的定理 1.3 可知, 模型(2)可以较精确地恢复原始信号。

由于问题(2)的凸性, 有许多有效算法可求解之, 如基追踪法[4], 迭代阈值方法[5]。近年来,  $p$  ( $0 < p < 1$ ) 拟范数模型受到学者们的青睐, 因  $p$  范数较 1 范数更能得到稀疏解, 尤其是徐宗本提出  $p = 0.5$  时具有较好的计算效果[6]。  $p$  范数模型为:

$$\min_{x \in R^n} \|x\|_p, \text{ s.t. } Ax = b. \quad (3)$$

由于  $0 < p < 1$ , 故问题(3)为非凸问题, 且与 0 范数同样是 NP-hard 问题。文献[1]中作者利用光滑逼近  $|\cdot|$  函数进而光滑逼近  $p$  范数。受到该文的启发, 本文利用文献[7] [8]中的光滑逼近  $|\cdot|$  函数技术光滑逼近  $p$  范数, 且结合  $p$  范数与 2 范数各自的优点, 利用  $p$  范数与 2 范数加权的方法弥补由于  $p$  过小而引起的数值不稳定, 从而应用共轭梯度法进行信号恢复, 并在适当的假设下, 证明了算法的全局收敛性, 同时进行了数值测试, 测试结果证明我们的方法是有效的。

## 2. 模型及其性质

我们考虑如下模型:

$$\min_{x \in R^n} \lambda_1 \|x\|_p + \lambda_2 \|x\|_2, \text{ s.t. } Ax = b.$$

其中  $\lambda_1, \lambda_2 \in R$ 。该问题的正则化问题为:

$$\min_{x \in R^n} \lambda_1 \|x\|_p + \lambda_2 \|x\|_2 + \frac{1}{2} \|Ax - b\|_2^2. \quad (4)$$

其模型较  $p$  范数模型(3), 加入了一项 2 范数项进行调节  $p$  过小时目标函数的非凸程度, 以  $p = 0.3$  为例, 依次做  $R = \lambda_2 / \lambda_1 = 0, 1, 10, 100$  时的范数图像, 如图 1 至图 4 所示:

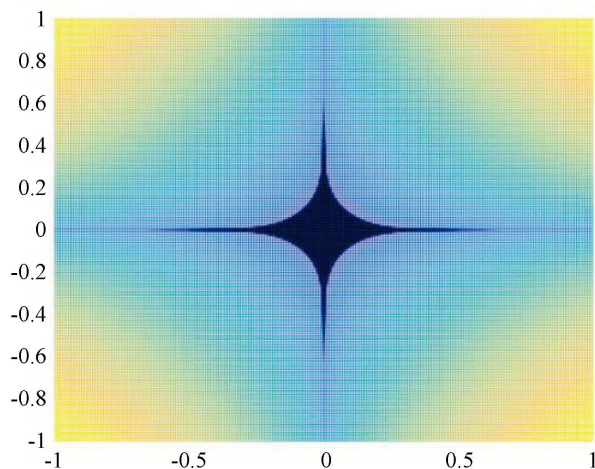


Figure 1.  $R = 0$  norm image

图 1.  $R = 0$  范数图像

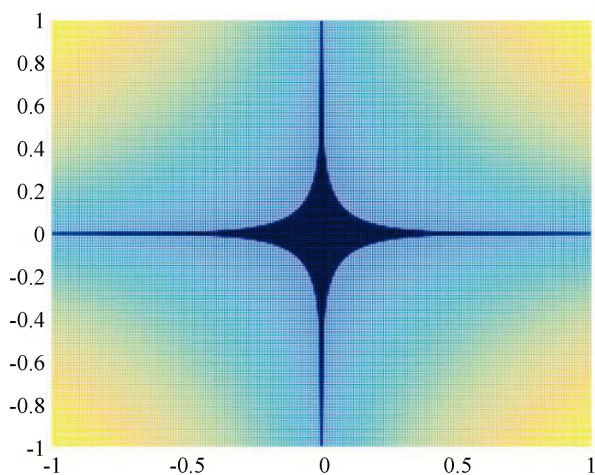


Figure 2.  $R = 1$  norm image

图 2.  $R = 1$  范数图像

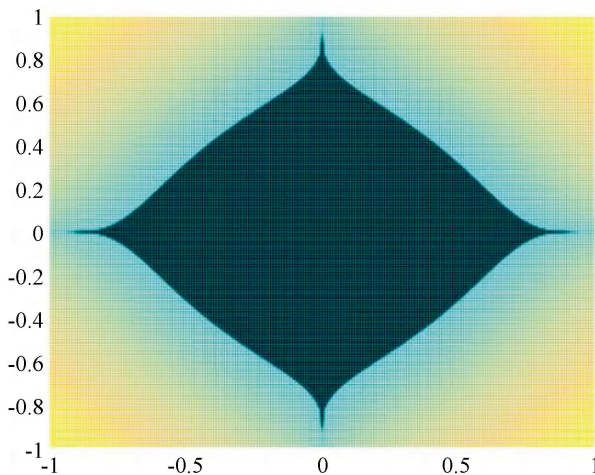
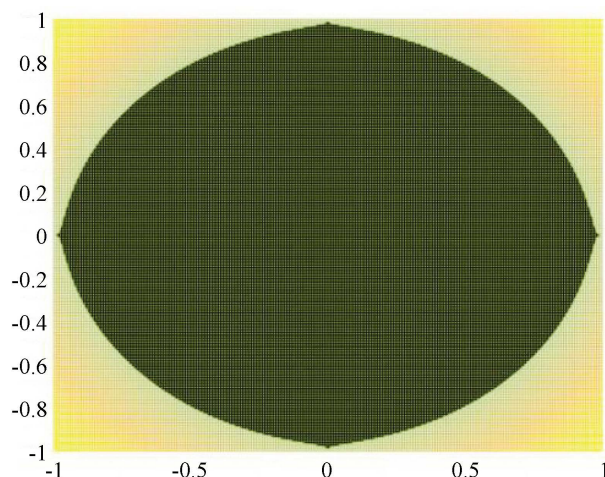


Figure 3.  $R = 10$  norm image

图 3.  $R = 10$  范数图像

Figure 4.  $R = 100$  norm image图 4.  $R = 100$  范数图像

可见通过适当调整  $\lambda_1, \lambda_2$  取值在保证产生稀疏解的同时可以增强问题的凸性。由  $p$  范数的定义  $\|x\|_p = \left( \sum_{i=1}^n |x_i|^p \right)^{\frac{1}{p}}$  可知, 由于  $|x|$  的非光滑性, 导致  $\|x\|_p$  是非光滑的, 因而我们通过光滑绝对值函数  $|x|$  对  $\|x\|_p$  进行光滑逼近。文献[8]中对绝对值函数提出如下两个光滑函数:

$$\varphi_1(\varepsilon, t) = \begin{cases} t, & t \geq \frac{\varepsilon}{2}, \\ \frac{t^2}{\varepsilon} + \frac{\varepsilon}{4}, & -\frac{\varepsilon}{2} < t < \frac{\varepsilon}{2} \\ -t, & t \leq -\frac{\varepsilon}{2}. \end{cases} \text{ 及 } \varphi_2(\varepsilon, t) = \begin{cases} \frac{t^2}{2\varepsilon}, & |t| \leq \varepsilon, \\ |t| - \frac{\varepsilon}{2}, & |t| > \varepsilon. \end{cases} \quad (5)$$

利用  $\varphi_i (i=1,2)$ , 我们得到的模型为:

$$\min \lambda_1 \phi_i(\varepsilon, x) + \lambda_2 \|x\|_{2,\mu} + \frac{1}{2} \|Ax - b\|_2^2. \quad (6)$$

其中,

$$\phi_i(x) = \left[ \sum_{j=1}^n \varphi_i(\varepsilon, x_j) \right]^{\frac{1}{p}}, i=1,2, \quad (7)$$

$$\|x\|_{2,\mu} = \sqrt{x_1^2 + x_2^2 + \cdots + x_n^2 + \mu^2}, \mu > 0.$$

为叙述方便, 令:

$$G_i(x) = \lambda_1 \phi_i(\varepsilon, x) + \lambda_2 \|x\|_{2,\mu} + \frac{1}{2} \|Ax - b\|_2^2, (i=1,2). \quad (8)$$

计算函数  $G_i(x)$  的梯度:

$$\nabla G_i(x) = \lambda_1 \nabla \phi_i(\varepsilon, x) + \lambda_2 \nabla \|x\|_{2,\mu} + A^T (Ax - b). \quad (9)$$

**引理 1** 设  $D$  为  $R^n$  中的紧集, 若  $h: D \rightarrow R$  是  $D$  上的光滑函数, 则  $h$  在  $D$  上满足 Lipschitz 条件, 即:

$$\|h(x) - h(y)\| \leq L\|x - y\|, \forall x, y \in D.$$

其中  $L > 0$  称为 Lipschitz 常数。

**证明:** 对  $\forall x, y \in D$ , 由  $h(x)$  的光滑性及 Lagrange 中值定理可知:

$$|h(x) - h(y)| = |\nabla h^T(\xi)(x - y)| \leq \|\nabla h(\xi)\| \cdot \|x - y\|, \text{ 其中 } \xi \text{ 位于 } x, y \text{ 之间.}$$

因  $D$  为紧集, 则  $\exists L > 0$ ,  $\|\nabla h(\xi)\| \leq L$ , 从而  $\|h(x) - h(y)\| \leq L\|x - y\|$ 。

**引理 2** 设  $D \subset R^n$  为紧集,  $f, g: D \rightarrow R$  在  $D$  上 Lipschitz 连续, 则  $f \cdot g$  在  $D$  上 Lipschitz 连续。

**证明:** 因  $D$  紧且  $f$  和  $g$  均在  $D$  上 Lipschitz 连续, 则  $\exists M > 0, \forall L_1 > 0, L_2 > 0$ , 满足:

$$|f(x)| \leq M, |g(x)| \leq M, |f(x) - f(y)| \leq L_1\|x - y\|, |g(x) - g(y)| \leq L_2\|x - y\|, \forall x, y \in D.$$

对  $\forall x, y \in D$ , 有:

$$\begin{aligned} & |f(x)g(x) - f(y)g(y)| \\ &= |f(x)g(x) - f(y)g(x) + f(y)g(x) - f(y)g(y)| \\ &\leq |g(x)||f(x) - f(y)| + |f(y)||g(x) - g(y)| \\ &\leq ML_1\|x - y\| + ML_2\|x - y\| \\ &= M(L_1 + L_2)\|x - y\|. \end{aligned}$$

**引理 3** 若  $\varphi_i (i=1,2)$  由(5)定义, 则  $\varphi'_i(\varepsilon, t)$  在紧集  $D$  上 Lipschitz 连续。

**证明:** 对于  $i=1$  的情况, 我们有:

$$\varphi'_1(\varepsilon, t) = \begin{cases} \operatorname{sgn}(t), & |t| \geq \frac{\varepsilon}{2}, \\ \frac{2t}{\varepsilon}, & |t| < \frac{\varepsilon}{2}. \end{cases}$$

当  $\frac{\varepsilon}{2} > t_1 > t_2 > -\frac{\varepsilon}{2}$  时, 有:

$$|\varphi'_1(\varepsilon, t_1) - \varphi'_1(\varepsilon, t_2)| = \left| \frac{2t_1}{\varepsilon} - \frac{2t_2}{\varepsilon} \right| = \frac{2}{\varepsilon} |t_1 - t_2|.$$

当  $t_1 > \frac{\varepsilon}{2} > t_2 > -\frac{\varepsilon}{2}$  时, 有:

$$|\varphi'_1(\varepsilon, t_1) - \varphi'_1(\varepsilon, t_2)| = \left| 1 - \frac{2t_2}{\varepsilon} \right| < \left| \frac{2t_1}{\varepsilon} - \frac{2t_2}{\varepsilon} \right| = \frac{2}{\varepsilon} |t_1 - t_2|.$$

当  $\frac{\varepsilon}{2} > t_1 > -\frac{\varepsilon}{2} > t_2$  时, 有:

$$|\varphi'_1(\varepsilon, t_1) - \varphi'_1(\varepsilon, t_2)| = \left| \frac{2t_1}{\varepsilon} + 1 \right| < \left| \frac{2t_1}{\varepsilon} - \frac{2t_2}{\varepsilon} \right| = \frac{2}{\varepsilon} |t_1 - t_2|.$$

当  $t_1 > \frac{\varepsilon}{2} > -\frac{\varepsilon}{2} > t_2$  时, 有:

$$|\varphi'_1(\varepsilon, t_1) - \varphi'_1(\varepsilon, t_2)| = 2 = \frac{2}{\varepsilon} \varepsilon \leq \frac{2}{\varepsilon} |t_1 - t_2|.$$

当  $t_1 > t_2 > \frac{\varepsilon}{2}$  或  $-\frac{\varepsilon}{2} > t_1 > t_2$  时, 有:

$$|\varphi'_1(\varepsilon, t_1) - \varphi'_1(\varepsilon, t_2)| = 0 \leq \frac{2}{\varepsilon} |t_1 - t_2|.$$

令  $L_1 = \frac{2}{\varepsilon}$ , 同理可证存在常数  $L_2$  使得  $\varphi'_2(t)$  在紧集  $D$  上 Lipschitz 连续。

最终令  $L_m = \max\{L_1, L_2\}$ , 我们得到:

$$|\varphi'_i(\varepsilon, t_1) - \varphi'_i(\varepsilon, t_2)| \leq L_m |t_1 - t_2|, \forall t_1, t_2 \in D, i=1, 2.$$

**引理 4** 函数  $\phi_i(\varepsilon, x)$  由(7)所定义, 则  $\nabla \phi_i(\varepsilon, x)$  在紧集  $D$  上 Lipschitz 连续。

**证明:** 计算得:

$$[\nabla \phi_i(\varepsilon, x)]_j = \left( \sum_{j=1}^n \varphi_i^p(\varepsilon, x_j) \right)^{\frac{1-p}{p}} \varphi_i^{p-1}(\varepsilon, x_j) \varphi'_i(\varepsilon, x_j).$$

因  $\varphi_i$  连续可微, 且  $\varepsilon \neq 0, \varphi_i \neq 0$ , 我们有  $\left( \sum_{j=1}^n \varphi_i^p(\varepsilon, x_j) \right)^{\frac{1-p}{p}}$  和  $\varphi_i^{p-1}$  均连续可微。假设集合  $D$  有界, 则

$D$  为紧集, 由引理 1 知  $\left( \sum_{j=1}^n \varphi_i^p(\varepsilon, x_j) \right)^{\frac{1-p}{p}}$  及  $\varphi_i^{p-1}$  在紧集  $D$  上 Lipschitz 连续。

同时由引理 3 可知  $\varphi'_i(\varepsilon, x_j)$  在紧集  $D$  上 Lipschitz 连续, 则由引理 2 可知:

$\left( \sum_{j=1}^n \varphi_i^p(\varepsilon, x_j) \right)^{\frac{1-p}{p}} \cdot \varphi_i^{p-1}(\varepsilon, x_j) \cdot \varphi'_i(\varepsilon, x_j)$  在紧集  $D$  上 Lipschitz 连续, 记 Lipschitz 常数为  $L_D$ , 那么有:

$$\|\nabla \phi_i(\varepsilon, x) - \nabla \phi_i(\varepsilon, y)\| \leq \sum_{j=1}^n \left\| [\nabla \phi_i(\varepsilon, x)]_j - [\nabla \phi_i(\varepsilon, y)]_j \right\| \leq nL_D \|x - y\|.$$

即  $\nabla \phi_i(\varepsilon, x)$  在紧集  $D$  上 Lipschitz 连续。

**引理 5**  $\nabla \|x\|_2$  在紧集  $D$  上 Lipschitz 连续。

**证明:** 计算得  $\nabla \|x\|_2 = \left[ \frac{x_1}{\|x\|_2}, \frac{x_2}{\|x\|_2}, \dots, \frac{x_n}{\|x\|_2} \right]$ , 由引理 1 可知  $\frac{x_j}{\|x\|_2}$  在水平集上光滑, 则  $\frac{x_j}{\|x\|_2}$  在紧集  $D$  上

Lipschitz 连续, 记 Lipschitz 常数为  $L_c$ , 则:

$$\|\nabla \|x\|_2 - \nabla \|y\|_2\| \leq nL_c \|x - y\|.$$

**引理 6** 目标函数梯度  $\nabla G_i(x)$  由(9)所定义, 则  $\nabla G_i(x)$  在紧集  $D$  上 Lipschitz 连续。

**证明:** 计算得  $\nabla G_i(x) = \lambda_1 \nabla \phi_i(\varepsilon, x) + \lambda_2 \nabla \|x\|_{2,\mu} + A^T(Ax - b)$ , 则:

$$\begin{aligned} & \|\nabla G_i(x) - \nabla G_i(y)\| \\ &= \left\| \lambda_1 \nabla \phi_i(\varepsilon, x) + \lambda_2 \nabla \|x\|_{2,\mu} + A^T(Ax - b) - \lambda_1 \nabla \phi_i(\varepsilon, y) - \lambda_2 \nabla \|y\|_{2,\mu} - A^T(Ay - b) \right\| \\ &\leq \lambda_1 nL_D \|x - y\| + \lambda_2 nL_c \|x - y\| + \|A\|_2^2 \|x - y\| \\ &= (\lambda_1 nL_D + \lambda_2 nL_c + \|A\|_2^2) \|x - y\|. \end{aligned}$$



### 3. 基于非精确线搜索的三项共轭梯度法

求问题  $\min_{x \in \mathbb{R}^n} f(x)$  的共轭梯度法的具体迭代过程如下:

$$\begin{aligned} x_{k+1} &= x_k + \alpha_k d_k, \\ d_k &= \begin{cases} -g_k, & k=0, \\ -g_k + \beta_{k-1} d_{k-1}, & k>0. \end{cases} \end{aligned}$$

其中  $x_k$  代表当前迭代点,  $d_k$  代表当前搜索方向,  $\alpha_k$  代表搜索步长,  $g_k = \nabla G(x_k)$ , 不同的  $\beta_k$  代表不同的共轭梯度算法。Shouqiang Du 和 Miao Chen 在文献[9]中提出了一种新型三项共轭梯度法。具体迭代过程如下:

$$d_k = \begin{cases} -g_k, & k=0, \\ -g_k + \beta_{k-1} d_{k-1} - \theta_{k-1} y_{k-1}, & k>0. \end{cases}$$

其中新加入项  $-\theta_{k-1} y_{k-1}$  可以每步迭代确保目标函数值严格下降, 使计算效率更高。本文将利用该共轭梯度法解决信号恢复问题。

**算法 1 (基于非精确线搜索的共轭梯度法)**

**步 0** 给出初始参数  $\mu, \varepsilon, \eta, \delta, \lambda_1, \lambda_2, \rho, \sigma, x_0, \mu_0, \gamma$ , 置  $k := 0$ 。

**步 1** 若满足终止准则  $\|\nabla G_i(x)\| < \varepsilon$ , 停止计算, 输出结果  $x_k \approx x^*$ ; 否则, 转步 2。

**步 2** 计算搜索方向:

$$d_k = \begin{cases} -g_k, & k=0, \\ -g_k + \beta_{k-1} d_{k-1} - \theta_{k-1} y_{k-1}, & k>0. \end{cases}$$

其中,

$$y_k = g_k - g_{k-1}, \beta_k = \frac{g_k^T y_{k-1}}{-\eta g_{k-1}^T d_{k-1} + \mu |g_k^T y_{k-1}|}, \theta_k = \frac{g_k^T d_{k-1}}{-\eta g_{k-1}^T d_{k-1} + \mu |g_k^T y_{k-1}|}.$$

**步 3** 令  $\alpha_k = \max\{\rho^m : m = 0, 1, 2, \dots\}$ , 同时满足:

$$G(x_k + \alpha_k d_k) > G(x_k) - 2\sigma(1 - \gamma\mu_0)\alpha_k G(x_k).$$

**步 4** 令  $x_{k+1} = x_k + \alpha_k d_k$ , 计算  $g_{k+1} = \nabla G(x_{k+1})$ 。

**步 5** 令  $k := k + 1$ , 转步 1。

**假设 1** 令  $c > 0$  为常数, 假设水平集  $L_c = \{x_k | G(x_k) \leq c\}$  是紧集。

**定理 1** 若  $\{x_k\}$  是由算法 1 产生的序列, 则:

$$\lim_{k \rightarrow \infty} \|\nabla G(x_k)\| = 0.$$

**证明:** 由文献[9]中定理 6, 本文引理 6 及假设 1 可得。

### 4. 数值实验

本节实验在 Intel Core i7-6500U 2.50GHz CPU, 8G RAM, Windows10 64 位操作系统, MATLAB R2016a 环境下进行, 所有数值实验结果为测试十次取平均值。

我们对两个不同的绝对值近似函数  $\varphi_1$  和  $\varphi_2$  分别在信号维数  $n$  取 2048, 4096, 8192 三种情况下, 测试随机信号在无噪声和存在噪声干扰时的恢复效果。通过对比信号恢复时间  $t$ , 相对误差  $e$  和迭代步数  $k$

来比较范数  $p$  和  $R$  对算法对信号恢复效果的影响。参数取值如下:  $A$  为  $m \times n$  的随机高斯矩阵,  $x$  为  $n$  维随机初始信号,  $x_0 = \text{zeros}(n,1)$  为初始点,  $gs = \text{normnd}(0,0.01,n/2,1)$  是一个平均值是 0, 标准差是 0.01 的对观测向量  $b$  的噪声干扰,  $p$  取 0.3, 0.4, 0.5, 0.6,  $R$  取 0, 1, 10, 100 (当  $R=0$  时代表 2 范数项为 0, 即目标函数为  $p$  范数模型), 其他参数取值如下:

$$\mu = 1e-5, \varepsilon = 1e-5, \eta = 1, \delta = 2, \lambda = 1e-6 * \|A^T b\|_\infty, \rho = 0.5, \sigma = 0.002, \gamma = 0.2.$$

1) 我们先对绝对值近似函数  $\varphi_1$  的信号恢复问题进行数值实验, 结果如表 1 至表 6 所示:

**Table 1.** Signal dimension  $n = 2048$ , no noise interference

**表 1.** 信号维数  $n = 2048$ , 无噪声干扰

$R$	0			1			10			100		
$p$	$e$	$k$	$t$	$e$	$k$	$t$	$e$	$k$	$t$	$e$	$k$	$t$
0.6	3.0e-7	278	4.84	2.9e-7	256	5.09	2.2e-7	266	5.97	5.5e-7	268	5.32
0.5	5.0e-6	223	3.91	4.2e-6	248	5.10	2.2e-6	243	5.07	8.4e-6	227	4.87
0.4	3.8e-4	376	8.20	3.5e-4	193	4.73	2.5e-4	282	8.62	1.9e-4	321	11.58
0.3	1.0e-2	152	3.89	9.3e-3	142	4.17	2.2e-3	146	4.59	1.3e-2	145	4.94

**Table 2.** Signal dimension  $n = 2048$ , Gauss noise interference

**表 2.** 信号维数  $n = 2048$ , 高斯噪声干扰

$R$	0			1			10			100		
$p$	$e$	$k$	$t$	$e$	$k$	$t$	$e$	$k$	$t$	$e$	$k$	$t$
0.6	1.8e-3	664	11.6	1.6e-3	564	11.1	1.7e-3	532	10.5	1.8e-3	690	14.9
0.5	7.1e-2	269	12.7	1.4e-3	298	12.8	8.9e-4	274	13.5	1.5e-3	231	2.38
0.4	8.6e-2	167	3.52	6.2e-3	164	4.20	9.2e-4	187	5.96	1.7e-3	125	3.10
0.3	1.2e-2	152	4.43	1.3e-2	144	4.35	2.5e-2	137	3.76	8.1e-3	155	4.54

**Table 3.** Signal dimension  $n = 4096$ , no noise interference

**表 3.** 信号维数  $n = 4096$ , 无噪声干扰

$R$	0			1			10			100		
$p$	$e$	$k$	$t$	$e$	$k$	$t$	$e$	$k$	$t$	$e$	$k$	$t$
0.6	5.6e-7	270	17.8	8.2e-7	219	17.5	8.0e-7	253	20.0	2.4e-6	205	15.5
0.5	1.6e-5	207	15.3	1.5e-5	226	19.4	8.5e-6	239	19.2	1.2e-5	243	19.8
0.4	7.5e-3	230	21.3	1.1e-3	224	23.2	6.0e-4	213	21.1	6.1e-4	239	24.9
0.3	1.3e-3	149	14.6	2.3e-2	162	18.4	1.5e-2	156	18.1	1.8e-2	150	17.4

**Table 4.** Signal dimension  $n = 4096$ , Gauss noise interference

**表 4.** 信号维数  $n = 4096$ , 高斯噪声干扰

$R$	0			1			10			100		
$p$	$e$	$k$	$t$	$e$	$k$	$t$	$e$	$k$	$t$	$e$	$k$	$t$
0.6	1.2e-3	613	44.4	1.4e-3	926	75.5	1.3e-3	572	47.7	1.2e-3	714	57.68
0.5	3.2e-4	131	8.98	3.3e-4	128	10.2	3.3e-4	156	12.6	3.1e-4	134	10.94
0.4	1.3e-3	169	14.9	1.2e-3	184	18.3	1.0e-3	162	15.7	1.3e-3	188	18.30
0.3	1.8e-2	156	15.7	1.4e-2	163	18.5	2.2e-2	163	18.7	1.5e-3	163	19.74



**Table 5.** Signal dimension  $n = 8192$ , no noise interference  
**表 5.** 信号维数  $n = 8192$ , 无噪声干扰

$R$	0			1			10			100		
$p$	$e$	$k$	$t$	$e$	$k$	$t$	$e$	$k$	$t$	$e$	$k$	$t$
0.6	1.7e-6	219	62.42	1.0e-6	212	66.59	6.2e-7	219	66.04	3.5e-6	215	67.41
0.5	3.2e-5	273	89.12	1.3e-5	223	78.24	2.0e-5	222	78.90	2.7e-5	230	82.25
0.4	7.7e-3	107	38.12	6.6e-3	117	43.98	7.1e-3	111	43.61	6.8e-3	116	44.30
0.3	3.1e-2	164	67.77	2.9e-2	172	74.96	2.4e-2	163	71.80	1.9e-2	167	72.89

**Table 6.** Signal dimension  $n = 8192$ , Gauss noise interference  
**表 6.** 信号维数  $n = 8192$ , 高斯噪声干扰

$R$	0			1			10			100		
$p$	$e$	$k$	$t$	$e$	$k$	$t$	$e$	$k$	$t$	$e$	$k$	$t$
0.6	8.5e-4	622	176.7	8.2e-4	1011	377.4	8.6e-4	998	383.3	8.1e-4	514	175.4
0.5	2.5e-4	134	41.26	1.8e-4	154	54.85	1.8e-4	190	67.90	1.7e-4	157	55.52
0.4	7.2e-3	113	40.62	1.8e-3	219	97.92	1.7e-3	271	126.7	2.9e-4	158	67.28
0.3	8.0e-2	170	73.10	2.4e-2	162	78.82	2.8e-2	168	82.36	2.6e-2	171	82.74

2) 我们再对绝对值近似函数  $\varphi_2$  的信号恢复问题进行数值实验, 结果如表 7 至表 12 所示:

**Table 7.** Signal dimension  $n = 2048$ , no noise interference  
**表 7.** 信号维数  $n = 2048$ , 无噪声干扰

$R$	0			1			10			100		
$p$	$e$	$k$	$t$	$e$	$k$	$t$	$e$	$k$	$t$	$e$	$k$	$t$
0.6	4.4e-6	348	5.89	3.9e-6	347	6.14	1.5e-5	328	6.08	5.0e-7	342	5.71
0.5	1.4e-6	274	4.55	1.2e-6	260	4.29	2.1e-6	262	4.22	5.7e-6	228	3.54
0.4	1.4e-3	335	5.82	4.4e-5	248	5.88	6.7e-5	326	7.76	6.6e-5	209	4.83
0.3	8.3e-3	137	3.51	1.7e-3	154	4.04	1.3e-2	168	4.52	1.0e-2	137	3.42

**Table 8.** Signal dimension  $n = 2048$ , Gauss noise interference  
**表 8.** 信号维数  $n = 2048$ , 高斯噪声干扰

$R$	0			1			10			100		
$p$	$e$	$k$	$t$	$e$	$k$	$t$	$e$	$k$	$t$	$e$	$k$	$t$
0.6	2.8e-3	419	8.53	1.8e-3	489	8.98	1.6e-3	412	6.99	1.7e-3	432	7.45
0.5	7.0e-4	171	2.80	6.9e-4	160	2.64	8.2e-4	160	2.50	8.2e-4	167	2.61
0.4	3.3e-3	168	3.95	5.2e-4	149	3.26	5.2e-4	184	3.97	6.6e-4	136	2.78
0.3	6.2e-2	157	4.41	7.7e-3	148	3.87	7.1e-3	150	3.84	1.2e-2	141	3.59

**Table 9.** Signal dimension  $n = 4096$ , no noise interference  
**表 9.** 信号维数  $n = 4096$ , 外界无噪声干扰

$R$	0			1			10			100		
$p$	$e$	$k$	$t$	$e$	$k$	$t$	$e$	$k$	$t$	$e$	$k$	$t$
0.6	9.3e-6	195	14.6	8.2e-6	222	16.9	4.0e-5	272	20.8	8.2e-6	287	20.6
0.5	2.7e-5	254	20.0	5.0e-6	236	19.0	2.2e-6	226	18.6	4.9e-6	207	15.6
0.4	1.5e-3	314	31.7	3.9e-4	199	19.1	2.9e-4	240	23.5	1.6e-4	258	25.5
0.3	1.5e-2	140	15.3	1.2e-2	146	15.4	1.1e-2	156	17.1	1.6e-2	134	13.6

**Table 10.** Signal dimension  $n = 4096$ , Gauss noise interference  
**表 10.** 信号维数  $n = 4096$ , 高斯噪声干扰

$R$	0			1			10			100		
$p$	$e$	$k$	$t$	$e$	$k$	$t$	$e$	$k$	$t$	$e$	$k$	$t$
0.6	1.1e-2	397	28.6	1.3e-3	376	25.8	1.3e-3	322	22.9	1.1e-3	361	24.6
0.5	1.2e-3	134	10.2	3.9e-4	145	10.2	3.6e-4	145	10.1	3.3e-4	144	9.93
0.4	3.7e-3	251	23.9	6.0e-4	211	19.4	5.6e-4	179	15.1	4.6e-4	208	18.1
0.3	1.4e-2	153	16.4	1.1e-2	153	17.5	1.0e-2	179	20.1	9.6e-2	150	15.7

**Table 11.** Signal dimension  $n = 8192$ , no noise interference  
**表 11.** 信号维数  $n = 8192$ , 无噪声干扰

$R$	0			1			10			100		
$p$	$e$	$k$	$t$	$e$	$k$	$t$	$e$	$k$	$t$	$e$	$k$	$t$
0.6	5.2e-7	228	66.9	3.5e-7	247	71.7	5.4e-5	225	66.7	8.0e-7	246	65.7
0.5	1.0e-5	217	69.7	1.6e-6	222	53.3	9.7e-6	229	73.9	8.4e-6	185	55.8
0.4	2.7e-4	213	84.2	1.8e-4	266	77.5	6.1e-4	187	70.7	6.9e-4	241	93.4
0.3	5.3e-2	153	74.7	2.5e-2	167	68.9	2.5e-2	145	60.7	2.3e-2	169	72.6

**Table 12.** Signal dimension  $n = 8192$ , Gauss noise interference  
**表 12.** 信号维数  $n = 8192$ , 高斯噪声干扰

$R$	0			1			10			100		
$p$	$e$	$k$	$t$	$e$	$k$	$t$	$e$	$k$	$t$	$e$	$k$	$t$
0.6	7.6e-3	241	76.1	7.7e-4	280	78.8	7.6e-4	291	82.8	8.3e-4	272	75.2
0.5	2.0e-4	135	39.0	1.6e-4	147	41.3	1.9e-4	134	40.3	2.0e-4	133	40.2
0.4	1.1e-3	174	60.7	3.6e-4	154	61.8	6.4e-4	267	87.3	6.1e-4	207	78.3
0.3	4.3e-2	167	66.1	2.8e-2	151	58.2	2.7e-2	157	64.3	2.6e-2	149	59.9

## 5. 主要结论

通过在不同维度  $n = 2048, 4096, 8192$  下做信号恢复效果分析, 我们主要得出以下结论:

1) 相对于  $p$  范数模型,  $l_p + l_2$  范数模型具有更好的恢复效果, 二者在时间和迭代步数相近的情况下,  $l_p + l_2$  范数模型对初始信号的精度更高。

2) 做  $\lambda_2/\lambda_1$  的值对信号恢复效果影响的横向对比,  $\lambda_2/\lambda_1$  的取值对信号恢复的时间和迭代步数影响并不明显; 但是  $\lambda_2/\lambda_1 = 1$  或  $\lambda_2/\lambda_1 = 10$  时信号的恢复具有更高精度, 这是由于当  $\lambda_2/\lambda_1$  取值为 1~10 时 2 范数项对  $p$  范数的调节使得函数模型的非凸性程度降低, 因而提高信号恢复的精度。

3) 做  $p$  的值对信号恢复效果影响的纵向对比, 显然范数  $p = 0.6$  时信号恢复的精度最高,  $p = 0.3$  时精度最低。

注: 1) 文献[10]中提出的模型为

$$\begin{aligned} \min_{x \in R^n} \lambda \|x\|_1 - \tau \|x\|_2, \\ \text{s.t. } Ax = b. \end{aligned}$$

即利用  $l_1 - l_2$  范数加权从而产生稀疏阶, 而本文考虑  $p$  范数比 1 范数更易得到稀疏解, 从而利用  $l_p + l_2$  范数加权进行信号恢复。

2) 文献[10]中的光滑化绝对值函数是文献[8]中  $\varphi_3$ 。

3) 文献[11]中的模型为:

$$\min_{x \in \mathbb{R}^n} \lambda_1 \|x\|_p^p + \lambda_2 \|x\|_2^2 + \frac{1}{2} \|Ax - b\|_2^2.$$

而  $\lambda_1 \|x\|_p^p + \lambda_2 \|x\|_2^2$  较  $\lambda_1 \|x\|_p + \lambda_2 \|x\|_2$  不易产生稀疏解。取  $p = 0.3, R = 100$  对比图形如图 5 和图 6 所示:

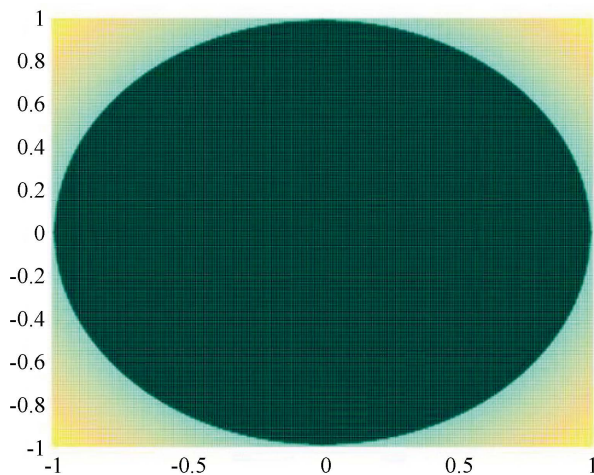


Figure 5.  $\lambda_1 \|x\|_p^p + \lambda_2 \|x\|_2^2$  norm image

图 5.  $\lambda_1 \|x\|_p^p + \lambda_2 \|x\|_2^2$  范数图像

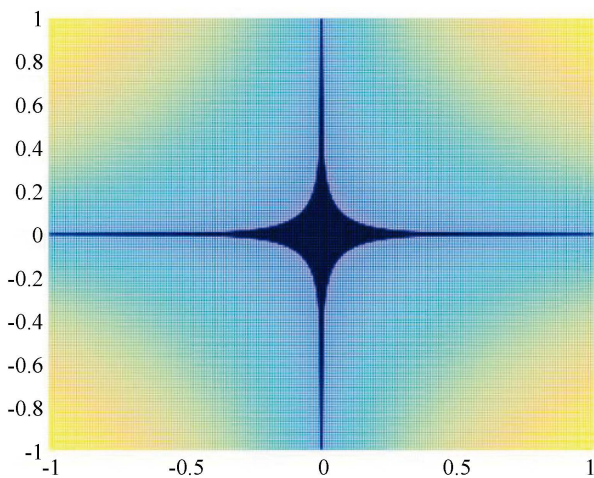


Figure 6.  $\lambda_1 \|x\|_p + \lambda_2 \|x\|_2$  norm image

图 6.  $\lambda_1 \|x\|_p + \lambda_2 \|x\|_2$  范数图像

### 基金项目

内蒙古自然科学基金(2018MS01016)。

### 参考文献

[1] Candes, E.J., Romberg, J. and Tao, T. (2006) Robust Uncertainty Principles: Exact Signal Reconstruction from Highly

- Incomplete Frequency Information. *IEEE Transactions on Information Theory*, **52**, 489-509. <https://doi.org/10.1109/TIT.2005.862083>
- [2] Ge, D., Jiang, X. and Ye, Y. (2011) A Note on the Complexity of  $L_p$  Minimization. *Mathematical Programming*, **129**, 285-299. <https://doi.org/10.1007/s10107-011-0470-2>
- [3] Candes, E.J. and Tao, T. (2004) Near Optimal Signal Recovery from Random Projections: Universal Encoding Strategies. *IEEE Transactions on Information Theory*, **52**, 5406-5425. <https://doi.org/10.1109/TIT.2006.885507>
- [4] Chen, S.S., Donoho, D.L. and Saunders, M.A. (1998) Atomic Decomposition by Basis Pursuit. *SIAM Journal on Scientific Computing*, **20**, 33-61. <https://doi.org/10.1137/S1064827596304010>
- [5] Daubechies, I., Defries, M. and De Mol, C. (2004) An Iterative Thresholding Algorithm for Linear Inverse Problems with a Sparsity Constraint. *Communications on Pure and Applied Mathematics*, **57**, 1413-1457. <https://doi.org/10.1002/cpa.20042>
- [6] Xu, Z.B., Chang, X., Xu, F., *et al.* (2012) Regularization: A Thresholding Representation Theory and a Fast Solver. *IEEE Transactions on Neural Networks and Learning Systems*, **23**, 1013-1027. <https://doi.org/10.1109/TNNLS.2012.2197412>
- [7] Jeevan, K., Pant and Lu, W. (2014) New Improved Algorithms for Compressive Sensing Based on  $l(p)$  Norm. *Circuits and Systems II: Express Briefs. IEEE Transactions*, **61**, 198-202.
- [8] Saheya, B., Yu, C.-H. and Chen, J.-S. (2018) Numerical Comparisons Based on Four Smoothing Functions for Absolute Value Equation. *Journal of Applied Mathematics and Computing*, **56**, 131-149. <https://doi.org/10.1007/s12190-016-1065-0>
- [9] Bakhtawar, B., Zabidin, S., Ahmad, A., *et al.* (2017) A New Modified Three-Term Conjugate Gradient Method with Sufficient Descent Property and Its Global Convergence. *Journal of Mathematics*, **2017**, 1-12.
- [10] Liu, C., Chen, Q., Zhou, B., *et al.* (2016)  $L_1$ - and  $L_2$ -Norm Joint Regularization Based Sparse Signal Reconstruction Scheme. *Applied Physics A*, **45**, 313-323.
- [11] Zhang, Y. and Ye, W.Z. (2017) Sparse Recovery by the Iteratively Reweighted, Algorithm for Elastic, Minimization. *Optimization*, **66**, 1-11. <https://doi.org/10.1080/02331934.2017.1359590>

#### 知网检索的两种方式:

1. 打开知网页面 <http://kns.cnki.net/kns/brief/result.aspx?dbPrefix=WWJD>  
下拉列表框选择: [ISSN], 输入期刊 ISSN: 2324-7991, 即可查询
2. 打开知网首页 <http://cnki.net/>  
左侧“国际文献总库”进入, 输入文章标题, 即可查询

投稿请点击: <http://www.hanspub.org/Submission.aspx>

期刊邮箱: [aam@hanspub.org](mailto:aam@hanspub.org)